

## 1. まえがき

初期不整を有するはりの横倒木座屈強度と耐荷力に関する理論的研究は数多く行われ、有意義な成果が挙げられている。本研究は、これらの成果をふまえて、座屈強度および後座屈強度と耐荷力の関連性を解析モデルを用いて明確にするものである。なお記号は全て、横倒木座屈解析に用いられていくものを使用し、その説明を割愛するものとします。

## 2. 耐荷力解析

西野<sup>1)</sup>は座屈前の変形を考慮した座屈に関する基礎方程式を文献1)に示している。その式9-11において、等曲げ  $M_0$  のみが作用する2軸対称I形ばかりの座屈前後の強軸に関する曲げモーメントが変化しない場合、

$$EI_y \frac{d^4 u}{dz^4} + \frac{I_x - I_y}{I_x} M_0 \frac{d^2 \varphi}{dz^2} = 0, \quad EI_w \frac{d^4 \varphi}{dz^4} - GK_T \frac{d^2 \varphi}{dz^2} + M_0 \frac{d^2 u}{dz^2} = M_0 \frac{d^2 u_0}{dz^2} \quad (1)$$

となる。両端単純支持ばかりの初期変形を  $\sin$  の半波長に仮定すれば

$$u_0 = U_0 \sin \frac{\pi z}{L}, \quad u = U \sin \frac{\pi z}{L}, \quad \varphi = \Psi \sin \frac{\pi z}{L} \quad (2)$$

$$U = \frac{U_0}{(M_E/M_0)^2 - 1}, \quad \Psi = \frac{I_x}{I_x - I_y} \frac{P_{yE} U_0}{\{(M_E/M_0)^2 - 1\} M_0} \quad \text{但し, } M_E = \sqrt{\frac{I_x}{I_x - I_y} \frac{\pi^2 EI_y}{L^2} (GK_T + \frac{\pi^2 EI_w}{L^2})}$$

を考える。一方、筆者<sup>2)</sup>の初期不整程度の曲がりを有するはりの耐荷力実験によると、はりの横断面の応力分布は図-1のⒶ～Ⓓのように変化する。領域⑤の応力状態に対して、ひおよびすき弾性解に仮定し、弱軸に関する曲げモーメントの関係  $M_y = M_{yF} + M_{LF} = M_0 \Psi$  を用いてスパン中央部のねじり角を求めると次式を得る。但し、 $I_x / (I_x - I_y) \approx 1$  に近似する。

$$\Psi = \frac{M_{yF} + M_{LF}}{M_0} = \frac{G_y t b^2}{6 M_0} \left[ \frac{3}{2} - \frac{3}{2} \left( \frac{M_0}{G_y b t d} \right)^2 + \left( 1 - \frac{P_{yE} d}{2 M_0} \right) \frac{\pi^2 E b}{20 g L^2} \frac{U_0}{(M_0/M_E)^2 - 1} \right] \quad (3)$$

式2および3の曲線の交点を耐荷力と定義すると次式を得る。

$$\left( \frac{M_0}{M_p} \right)^2 - \left\{ 1 + \left( \frac{M_E}{M_p} \right)^2 + \frac{2 \pi^2 E b}{3 G_y L} \frac{U_0}{L} \right\} \left( \frac{M_0}{M_p} \right)^2 + \left( \frac{M_E}{M_p} \right)^2 = 0 \quad (4)$$

I形断面のウェブを無視し、すんぐりしたはりを対象とする次の座屈モーメントと正規化した細長比入力を得る。

$$M_E = \sqrt{\frac{\pi^2 EI_y}{L^2} (GK_T + \frac{\pi^2 EI_w}{L^2})} \approx \frac{\pi^2 E t b^3 d}{12 L^2}, \quad \lambda = \sqrt{\frac{M_p}{M_E}} \approx \frac{2}{\pi} \sqrt{3} \frac{L}{b} \sqrt{\frac{G_y}{E}} \quad (5)$$

上記の関係を用いて、式4を入について解くと次式を得る。

$$\lambda = \sqrt{\frac{1}{4} \left( \frac{\alpha_1}{1 - \delta^2} \right)^2 - \frac{1}{\delta^2} - \frac{\alpha_1}{2(1 - \delta^2)}} \quad \text{但し } \delta = \frac{M_0}{M_p}, \quad \alpha_1 = \frac{4\pi}{\sqrt{3}} \frac{E}{G_y} \frac{U_0}{L} \quad (6)$$

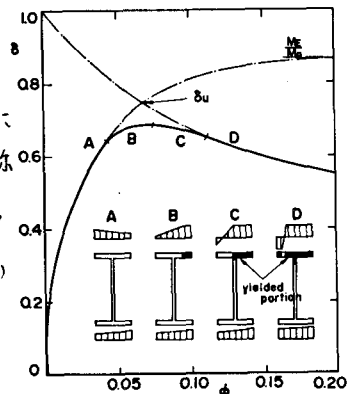


図-1 耐荷力解析モデル

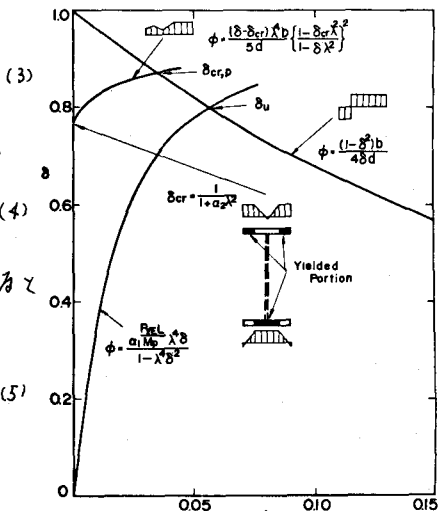
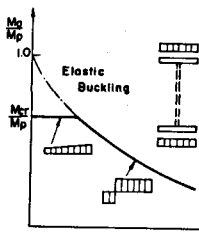


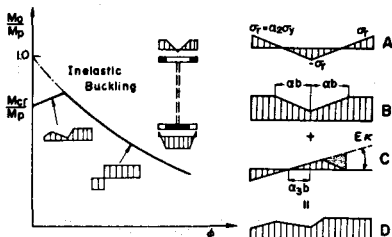
図-2 後座屈強度と耐荷力値



### 3. 座屈強度解析

図-1より、ひあわび $\delta$ を $\sin$ の半波長とし、下フランジの面外変形は生じないものとして、図-3の横倒立座屈解析モデルを考える。弾性座屈する場合、残留応力は無視でき、座屈時の応力状態に対して次の解をえる。

$$M_y = M_{cr} \bar{\lambda} = -EI_f \frac{d^2 u_{UF}}{dx^2} = \frac{\pi^2 E b^3 d}{12 L^2} \bar{\lambda} \quad \therefore M_{cr} = \frac{\pi^2 E b^3 d}{12 L^2} = M_E, \bar{\lambda} : \text{不定} \quad (7)$$



$$M_y = M_0 \bar{\lambda} = \frac{\sigma'_0 b^2}{4} \left[ 1 - \left( \frac{M_0}{\sigma'_0 b t d} \right)^2 \right] \quad \therefore \bar{\lambda} = \frac{b}{4d} \frac{1 - \delta^2}{\delta} \quad (8)$$

非弾性座屈する場合、圧縮フランジの弾性核の有効とし、 $(2d)^3$ を $(2d)^2$ に近似すとランキン・タイ竹の座屈強度式をえる。

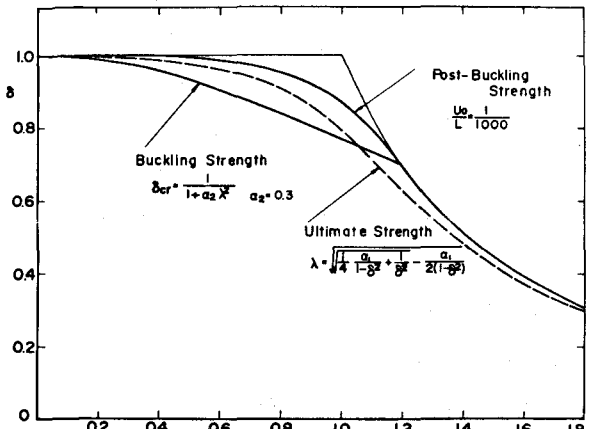
### 図-3 座屈解析モデル

座屈後の応力分布として図-3の②を考へる  
 $M_y = M_0 \bar{\lambda} = \int_{UF} \sigma_x x dA$ より②の $d_3$ が求まる。また、②の応力分布より面内モーメントを求めると次式となり、これより座屈後の $\bar{\lambda}$ をえら。

$$\frac{M_0}{M_p} = \frac{P_{UF} d}{M_p} = (1 - 4d_2^2) + \frac{6MEd}{M_p b} \left\{ \left( \frac{1}{2} - d_3 \right)^2 + (d + d_3)^2 \right\} \bar{\lambda}$$

$$\bar{\lambda} = \frac{(1 - \delta_{cr}) \lambda^2 b}{5d} \left( \frac{1 - \delta_{cr} \lambda^2}{1 - \delta \lambda^2} \right)^2 \quad \text{但し } d_3 = \frac{1 + (2d)^3 - 2\delta \lambda^2}{3(1 - (2d)^2)} \quad (10)$$

$$\frac{M_0}{M_p} = (1 - 4d_2^2) = \frac{M_{E0}}{M_p} \div \frac{(2d)^2}{\lambda^2} \quad \therefore \delta_{cr} = \frac{1}{1 + d_2^2 \lambda^2} \quad (9)$$



### 4. 数値計算例および考察

図-2はねじれ角と作用モーメントの関係を示し、図より残留応力により座屈強度が低下する場合、後座屈強度を期待できることはわかる。

図-4は座屈強度と後座屈強度および耐荷力の関係を示し、通常よく用いられる細長比では、 $U_0/L = 1/1000$ の場合、座屈強度、耐荷力、後座屈強度の順に強度が増加することができる。

図-5は各設計基本強度式と本解析値との関係を示し、この図より道示は $\delta_{cr}/\delta = 0.5$ なる残留応力を有するはりの座屈強度に対応し、ECCSの座屈曲線は $U_0/L = 1/1000$ なる初期不整を有するはりの耐荷力に対応することができる。

### 参考文献

- 1) 西野文雄、他3名：軸力と曲げおよびねじりを受けた薄肉断面部材、土木学会論文集、N6.225, pp.1~15.
- 2) 福本勝士、西田進：曲線I形梁の耐荷力実験、中部支部講演概要集、1979年2月、pp.46~47.

### 図-5 設計基本強度式と座屈強度、耐荷力との関係

